

## Synthesis and Characterization of Poly(vinyl acetate)-*b*-poly(dimethylsiloxane) Diblock Copolymer by Iodine Transfer Radical Polymerization

Mojtaba Farrokhi<sup>1</sup>, Mahdi Abdollahi<sup>1\*</sup>, and Mohammad Barari<sup>2</sup>

1. Polymer Reaction Engineering Department, Faculty of Chemical Engineering, Tarbiat Modares University, P.O. Box: 14115-143, Tehran, Iran

2. Development Division of Chemical, Polymer and Petrochemical Technology, Research Institute of Petroleum Industry, P.O. Box: 18745-4163, Tehran, Iran

Received: 1 January 2015, accepted: 11 July 2015

### ABSTRACT

Iodine transfer radical polymerization as an easy, efficient and robust method of controlled radical polymerization has been applied for a wide range of monomers. This polymerization technique is used in both homogeneous and heterogeneous processes. Iodine transfer radical bulk polymerization of the vinyl acetate (VAc) monomer was carried out in the presence of 2,2'-azobis(isobutyronitrile) (AIBN) as an initiator and  $\omega$ -iodine-terminated poly(dimethyl siloxane) (PDMS-I) as a macrotransfer agent at 80°C. PDMS-I with a number average molecular weight of 5029 g/mol and a polydispersity index of 1.23 was synthesized via bromination followed by iodination of the  $\omega$ -hydroxyl-terminated poly(dimethyl siloxane) (PDMS-OH). The product was used as a macrotransfer agent in the iodine transfer radical polymerization of VAc. Formation of the poly(vinyl acetate)-*b*-poly(dimethyl siloxane) diblock copolymer with a number average molecular weight of 19620 g/mol and a polydispersity index of 1.53 was proved by proton-nuclear magnetic resonance spectroscopy and gel permeation chromatography. A good agreement between the theoretical and experimental molecular weight calculated by proton-nuclear magnetic resonance spectroscopy and gel permeation chromatography was achieved, indicating that the PDMS-I macrotransfer agent was completely consumed and the PDMS impurities did not participate in the polymerization reaction. The analysis of the chain-ends was performed by using proton-nuclear magnetic resonance spectroscopy technique. It was found that a considerable number of inverse chain-ends were present at the end of the polymerization. Moreover, formation of several other side products due to degradation of the functional chain-ends was confirmed.

(\* )To whom correspondence should be addressed.

E-mail: abdollahim@modares.ac.ir

# سنتز و شناسایی کوپلیمر دوقطعه‌ای پلی(وینیل استات)–قطعه‌پلی(دی‌متیل سیلوکسان) به روش پلیمرشدن رادیکالی انتقال ید

مجتبی فرخی<sup>۱</sup>، مهدی عبداللهی<sup>\*</sup><sup>۱</sup>، محمد براری<sup>۲</sup>

۱- تهران، دانشگاه تربیت مدرس، دانشکده مهندسی شیمی، گروه مهندسی فرایندهای پلیمریزاسیون،  
صندوق پستی ۱۴۱۱۵-۱۴۳

۲- تهران، پژوهشگاه صنعت نفت، پژوهشکده توسعه فناوری‌های شیمیایی، پلیمری و پتروشیمی،  
صندوق پستی ۱۸۷۴۵-۴۱۶۳

دریافت: ۱۳۹۳/۱۰/۱۱، پذیرش: ۱۳۹۴/۴/۲۰

چکیده

از میان روش‌های پلیمرشدن رادیکالی کنترل شده، پلیمرشدن رادیکالی انتقال ید به عنوان روشی آسان، کارآمد و قوی معرفی شده است که برای گستره وسیعی از مونومرها قابل استفاده بوده و با هر دو محیط همگن و ناهمگن نیز سازگار است. پلیمرشدن رادیکالی انتقال ید مونومر وینیل استات (VAc) در مجاورت ۲،۲-آزویس ایزو بوتیرونیتریل (AIBN) به عنوان آغازگر و پلی(دی‌متیل سیلوکسان) (DMS-I)-یددار (PDMS-I) به عنوان عامل انتقال درشت‌مولکول با وزن مولکولی متوسط عددی ( $\overline{M}_n$ ) ۵۰۲۹ g/mol و شاخص چندتوزیعی (PDI) ۱/۲۳ در دمای ۸۰°C به روش توده انجام شد. پلی(دی‌متیل سیلوکسان) (DMS-b-PVAc) با وزن مولکولی متوسط عددی ۱۹۶۲۰ g/mol و شاخص چندتوزیعی ۱/۵۳ با استفاده از فنون طیفسنجی رزونанс مغناطیسی هسته پروتون (NMR<sup>H</sup>) و رنگنگاری ژل تراوایی (GPC) تأیید شد. تطابق خوبی میان وزن مولکولی نظری محاسبه شده و وزن مولکولی به دست آمده از طیفسنجی رزونانس مغناطیسی پروتون و رنگنگاری ژل تراوایی مشاهده شد که حاکی از مصرف کامل عامل انتقال درشت‌مولکول و عدم شرکت ناخالصی‌های همراه پلی(دی‌متیل سیلوکسان) است. بررسی انتهای زنجیر به کمک طیفسنجی رزونانس مغناطیسی هسته پروتون انجام و مشخص شد، تعداد شایان توجهی از زنجیرها با انتهای معکوس در پایان واکنش وجود دارند. افزون بر این، تشکیل چند محصول جانبی با تخریب انتهای عامل‌دار زنجیر نیز مشاهده شد.

## واژه‌های کلیدی

وینیل استات،  
پلی(دی‌متیل سیلوکسان)،  
پلیمرشدن رادیکالی انتقال ید،  
عامل انتقال درشت‌مولکول،  
کوپلیمر دوقطعه‌ای

## مقدمه

تولید پلیمرهایی با توزیع وزن مولکولی نسبتاً باریک منجر می‌شوند، اما دمای زیاد لازم برای این سامانه در واکنش‌های حساس یا زمانی که به کارکردن در محیط‌های آبی نیاز باشد، مشکل ساز می‌شود [۱۹]. با استفاده از پلیمرشدن رادیکالی انتقال اتم می‌توان گستره وسیعی از مونومرها را با توزیع وزن مولکولی باریک تهیه کرد. با وجود این، کنترل شده با این روش پلیمری کرد. افروزن بر این، وجود یون‌های فلزی و انحلال پذیری کم کاتالیزور در محیط واکنش نیز مشکل ساز است. با استفاده از پلیمرشدن انتقال زنجیر همراه با اتصال و شکست زنجیر-طراحی درشت‌مولکول از تبادل زانات می‌توان مونومرها وینیلیدن کلرید، وینیل استات و مونومرها عامل دار را به شکل کنترل شده پلیمر کرد. اما، قابلیت تخریب انتهای زنجیر وجود دارد [۱۹]. پلیمرشدن رادیکالی انتقال ید روش نسبتاً ارزانی است که در پلیمرشدن رادیکالی انتقال ید روش جدید پلیمرشدن رادیکالی انتقال ید معکوس بطرف شده است [۲۱، ۲۲].

پلیمرشدن رادیکالی انتقال ید وینیل استات و کوپلیمر آن با دی‌بوتیل مالاثات با مشخصات کنترل شده انجام شده است [۲۳، ۲۴]. سنتز کوپلیمر سه‌قطعه‌ای پلی(وینیل استات)-قطعه-پلی(دی‌متیل سیلوکسان)-قطعه-پلی(وینیل استات) به روش پلیمرشدن رادیکالی انتقال ید در حالت توده و ریزامولسیونی گزارش شده است [۱۴، ۱۶]. هر چند پلی(دی‌متیل سیلوکسان) با یک انتهای عامل دار نیز بهندرت در پلیمرشدن کنترل شده انتقال زنجیر همراه با اتصال و شکست برگشت‌پذیر و پلیمرشدن کنترل شده با حدوات نیتروکسیدی، (NMP) [۹، ۱۰] یا درشت‌آغازگرها (در پلیمرشدن رادیکالی انتقال اتم، (ATRP) [۱۱-۱۳]) و پلیمرشدن انتقال (در پلیمرشدن رادیکالی انتقال ید، (ITP) [۱۴-۱۶] و پلیمرشدن انتقال زنجیر همراه با اتصال و شکست زنجیر-طراحی درشت‌مولکول از راه تبادل زانات، (RAFT/MADIX) [۱۷، ۱۸] به کارایی زیاد آغازگر منجر شده که سبب کنترل بهتر ساختار کوپلیمر می‌شود. از این راه، کوپلیمرهای قطعه‌ای و شاخه‌ای مطلوب با وزن مولکولی کنترل شده به دست می‌آید.

روش‌های اصلی پلیمرشدن اشاره شده، هر یک مزايا و معایب دارند. اینیفرترها قابلیت پلیمر کنترل گستره وسیعی از مونومرها را به شکل کنترل شده دارند، هرچند پلیمرهای حاصل توزیع وزن مولکولی نسبتاً پهنه‌ی دارند. افروزن بر این، اینیفرترهای گرمایی امکان سنتز کوپلیمرهای سه‌قطعه‌ای و چندقطعه‌ای را با قطعه‌های پلی(دی‌متیل سیلوکسان) فراهم می‌کنند. نیاز اینیفرترهای نوری به پرتودهی برای بدست آوردن ویژگی زنده‌بودن بزرگ‌ترین مشکل آنها به شمار می‌رود [۱۹]. پلیمرشدن با حدوات نیتروکسیدی به

## تجربی

### مواد

ادامه یافت. پس از اتمام واکنش، با خارج کردن بالن از حمام روغن و قراردادن آن در حمام آب و یخ، پلیمرشدن متوقف شد. پس از افزودن مقدار کمی هیدروکسیون به مخلوط واکنش به طور مستقیم پیشرفت احتمالی واکنش، مقداری از مخلوط واکنش به طور مستقیم برای آزمون  $^1\text{H}$  NMR استفاده شد. باقی‌مانده مخلوط واکنش با قرارگرفتن درون گرمخانه خلاً در دمای  $60^\circ\text{C}$  به مدت ۲۴ h خشک شد. از نمونه به دست آمده در آزمون GPC استفاده شد. شایان ذکر است، واکنش‌های عامل‌دارشدن و پلیمرشدن تکرار شدند که نتایج تکرار پذیربودن این واکنش‌ها را تأیید کرد.

### شناسایی

در صد تبدیل مونومرهای ترکیب درصد کوپلیمر با استفاده از طیف‌سنجدی رزونانس مغناطیسی هسته پروتون در حلال کلروفرم دوتریم‌دار با استفاده از طیف‌سنجد  $500\text{ MHz}$  Bruker در دمای محیط محاسبه شد. وزن مولکولی معادل پلی‌استیرن [۲۸] و شاخص چندتزویجی کوپلیمر تهیه شده با استفاده از روش رنگ‌نگاری ژل تراوایی (GPC) معین شد. در این روش از دستگاه رنگ‌نگار ژل تراوایی مدل 1100 Agilent شناساگر ضریب شکست (RID A, Signal)، ستون‌هایی از جنس پلی‌استیرن شبکه‌ای شده با کارایی در محدوده وزن مولکولی  $10^3\text{--}10^5\text{ g/mol}$  و اندازه ذرات  $10\text{ }\mu\text{m}$ ، حفره‌هایی با ابعاد  $10^3\text{--}10^4\text{ \AA}$ ، صافی با اندازه  $45\text{ }\mu\text{m}$  و  $40\text{ }\mu\text{m}$  و حلال تتراهیدروفوران با سرعت جریان  $1\text{ mL/min}$  در دمای  $25^\circ\text{C}$  استفاده شد.

## نتایج و بحث

### سنتز عامل انتقال درشت‌مولکول

همان‌طور که اشاره شد، عامل انتقال درشت‌مولکول در مطالعه پیشین [۲۷] با استفاده از فنون طیف‌سنجدی زیرقرمز تبدیل فوریه و طیف‌سنجدی رزونانس مغناطیسی هسته پروتون شناسایی شد (شکل ۱). نتایج نشان داد، پلی(دی‌متیل سیلوکسان)-هیدروکسیل حاوی ناخالصی‌هایی است که فاقد گروه‌های هیدروکسیل هستند و در واکنش‌های عامل‌دارشدن شرکت نمی‌کنند [۲۷].

### پلیمرشدن توده‌ای وینیل استات در مجاورت عامل انتقال درشت‌مولکول

وینیل استات به روش پلیمرشدن رادیکالی انتقال ید با استفاده از عامل انتقال درشت‌مولکول پلی(دی‌متیل سیلوکسان)-هیدار در

### دستگاه‌ها و روش‌ها

#### سنتز عامل انتقال درشت‌مولکول پلی(دی‌متیل سیلوکسان)-هیدار (PDMS-I)

سنتز و شناسایی پلی(دی‌متیل سیلوکسان)-هیدار به طور کامل در مطالعه پیشین بررسی شده است [۲۲]. مرحله اول شامل استریکردن پلی(دی‌متیل سیلوکسان)-هیدروکسیل با ۲-برموپرپیونیل برمید در مجاورت تری‌اتیل آمین، سدیم هیدروژن کربنات، منیزیم سولفات بدون آب و سدیم یدید همگی از شرکت Merck تهیه و به همان شکل اولیه استفاده شدند.

### دستگاه‌ها و روش‌ها

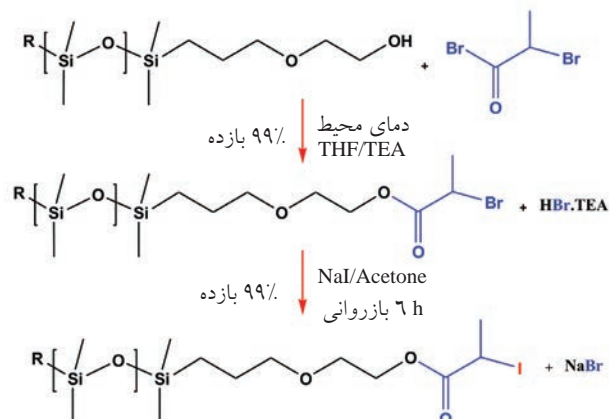
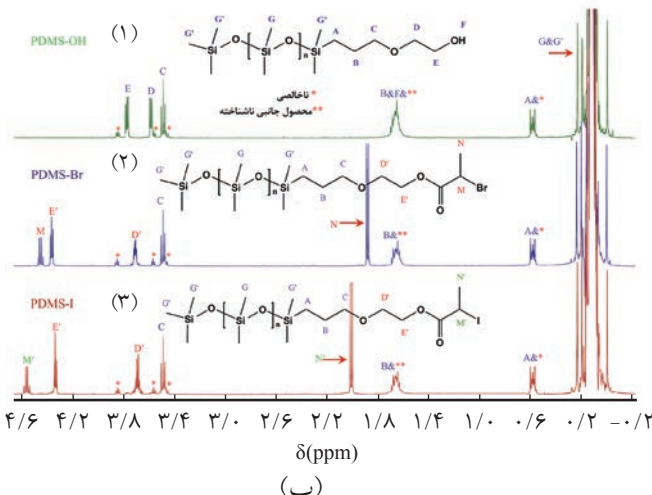
#### سنتز عامل انتقال درشت‌مولکول پلی(دی‌متیل سیلوکسان)-هیدار (PDMS-I)

سنتز و شناسایی پلی(دی‌متیل سیلوکسان)-هیدار به طور کامل در مطالعه پیشین بررسی شده است [۲۲]. مرحله اول شامل استریکردن پلی(دی‌متیل سیلوکسان)-هیدروکسیل با ۲-برموپرپیونیل برمید در مجاورت تری‌اتیل آمین و تتراهیدروفوران است (بازده ۹۹٪) که در مرحله بعد با بازروانی در استون با استفاده از سدیم یدید، برم با ید جانشین شد (بازده ۹۹٪) [۲۷].

### پلیمرشدن توده‌ای وینیل استات در مجاورت عامل انتقال درشت‌مولکول PDMS-I

اجزای واکنش با نسبت مولی  $[\text{VAc}]:[\text{PDMS-I}]:[\text{AIBN}] = 100:0/54:0/46$  استفاده شدند. وینیل استات ( $16/66\text{ mmol}$ ، پلی(دی‌متیل سیلوکسان)-هیدار ( $\overline{\text{M}}_{n,\text{GPC}}$ ) برابر  $50.29\text{ g/mol}$ ) و آزوپیس ایزوپوتیرونیتریل ( $0/0.76\text{ mmol}$ ) به ترتیب به بالن سدهانه اضافه شدند.

سپس، گاز نیتروژن به مدت  $20\text{ min}$  در محلول دمیده شد و بالن پس از درزبندی در حمام روغن با دمای  $80^\circ\text{C}$  قرار گرفت. پلیمرشدن با همزدن محلول به کمک همزن مغناطیسی در تاریکی



(الف)

شکل ۱- (الف) واکنش‌های برمدار و یدارشدن پلی(دی متیل سیلوکسان) و (ب) طیف  $^1\text{H}$  NMR (۱) پلی(دی متیل سیلوکسان) (۲)-هیدروکسیل، (۲) پلی(دی متیل سیلوکسان) (۳)-برمدار و (۳) پلی(دی متیل سیلوکسان) (۳)-یدار.

بیشتر در زمان کمتر به دست آمد (جدول ۱). نتایج GPC پلی(وینیل استات)-قطعه-پلی(دی متیل سیلوکسان) و پلی(دی متیل سیلوکسان) ۱-یدار در شکل ۲ نشان داده شده است. وجود دنباله در وزن مولکولی‌های کم (در تبدیل زیاد) به دلیل وجود برخی از زنجیرهای مرده است. اما، تمام توزیع وزن مولکولی به وزن مولکولی‌های بیشتر (با افزایش مقدار تبدیل) جایه‌جا شده است.

حالت توده پلیمر شد. وزن مولکولی نظری با استفاده از معادله (۱) محاسبه شد:

$$\bar{M}_{n,\text{th}} = \bar{M}_{n,\text{PDMS-1}} + \left( \frac{m_{\text{VAc}}}{n_{\text{PDMS-1}}} \times X \right) \quad (1)$$

در این معادله،  $M_{n,\text{Pdms-1}}$  وزن مولکولی متوسط عددی پلی(دی متیل سیلوکسان) ۱-یدار (g/mol)،  $m_{\text{VAc}}$  وزن وینیل استات استفاده شده (g)،  $n_{\text{PDMS-1}}$  مول عامل انتقال درشت‌مولکول و  $X$  مقدار تبدیل مونومر است.

با اینکه عدم پلیمرشدن وینیل استات در نسبت‌های آغازگر به عامل انتقال درشت‌مولکول (پلی(دی متیل سیلوکسان) ۱ و ۳-یدار) کمتر از ۱ گزارش شده است [۱۴]، اما در کار حاضر در نسبت آغازگر به عامل انتقال درشت‌مولکول کمتر از ۱  $AIBN]/[PDMS] = ۰/۸۵$  (۱)، تبدیل زیاد مونومر (%) به دست آمد. افزون بر این، در مقایسه با پلیمرشدن وینیل استات با عامل انتقال پلی(دی متیل سیلوکسان) حاوی دو انتهای یدار (۱)،  $AIBN]/[PDMS] = ۱/۰۴$ ،  $X = ۷۴\%$ ، برابر  $۱۳۰۰۰$  g/mol به مدت ۱۰۰ min تبدیل بیشتر و وزن مولکولی اندکی

**شکل ۳** ساختار و طیف  $^1\text{H}$  NMR عامل انتقال پلی(دی متیل سیلوکسان) و کوپلیمر پلی(وینیل استات)-قطعه-پلی(دی متیل سیلوکسان) را در دو تبدیل ۲٪ (زمان اکتشاف ۱۵ min) و ۷۹٪ (زمان اکتشاف ۷۵ min) نشان می‌دهد. پیک‌ها به پروتون‌های مربوط اختصاص داده شدند. پیک A نشان می‌دهد. پیک‌ها به گروههای متیل آغازگر تجزیه نشده را در جایه‌جایی پروتون‌های ۱/۶۵ ppm نشان می‌دهد، درحالی که پیک' A' پروتون‌های شیمیایی ۰/۴۷ ppm به دلیل هم‌پوشانی پروتون  $\text{H}_\text{D}$  در عامل انتقال با پروتون ۰/۴۷ ppm است.

جدول ۱- پلیمرشدن رادیکالی انتقال ید وینیل استات در حالت توده در مجاورت عامل انتقال درشت‌مولکول پلی(دی متیل سیلوکسان) ۱-یدار.

PDI	$\bar{M}_{n,\text{GPC}}$ (g/mol)	$\bar{M}_{n,\text{NMR}}$ (g/mol)	$\bar{M}_{n,\text{th}}$ (g/mol)	تبدیل (%) الف	زمان (min)	نام
۱/۵۳	۱۹۶۲۰	۱۹۱۵۰	۲۰۸۶۰	۷۹	۷۵	پلی(وینیل استات)-قطعه-پلی(دی متیل سیلوکسان)

(الف) درصد تبدیل محاسبه شده از معادله (۲)، (ب) وزن مولکولی نظری محاسبه شده از طیف  $^1\text{H}$  NMR با استفاده از معادله (۳) و (د) وزن مولکولی و شاخص چندتوزیعی حاصل از GPC.

شده است. هرچند در طیف کوپلیمر با تبدیل ۷۹٪ پیک پروتون  $H_h$  با پیک مربوط به کوپلیمر هم پوشانی دارد. اما، با درنظر گرفتن نسبت شدت پیک پروتون  $H_h$  با پیک پروتون  $H_b$  مشخص شد، در تبدیل ۷۹٪ همه عامل انتقال مصرف شده است. بنابراین، با توجه به پایداری گرمایی عامل انتقال درشت مولکول [۱۵]، واکنش کمی آن با وینیل استات مورد انتظار است.

با تحلیل طیف  $^1H$  NMR<sup>1</sup> و با استفاده از معادله (۲) می‌توان مقدار تبدیل مونومر را محاسبه کرد:

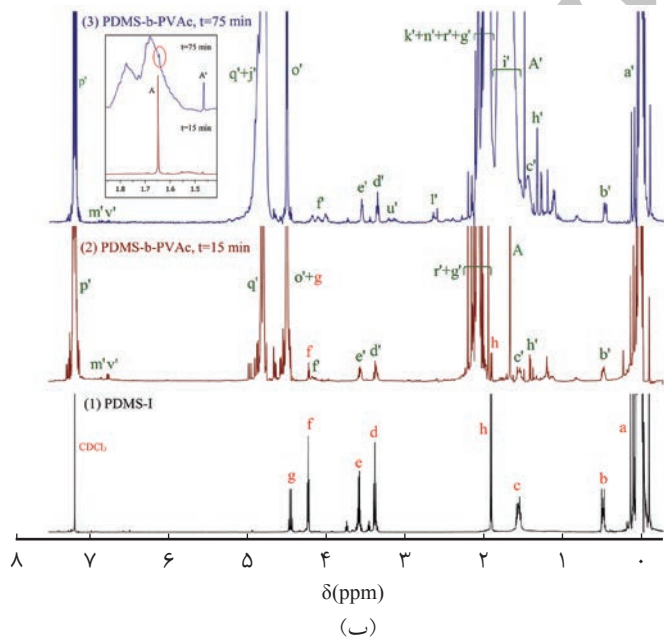
$$X(\%) = \left( \frac{I_{q+j'} - I_{o'}}{I_{q+j'}} \right) \times 100 \quad (2)$$

در این معادله،  $I_{q+j'}$  انتگرال مربوط به پیک پروتون‌های  $H_j$  و  $H_{o'}$  و  $H_q$  است.

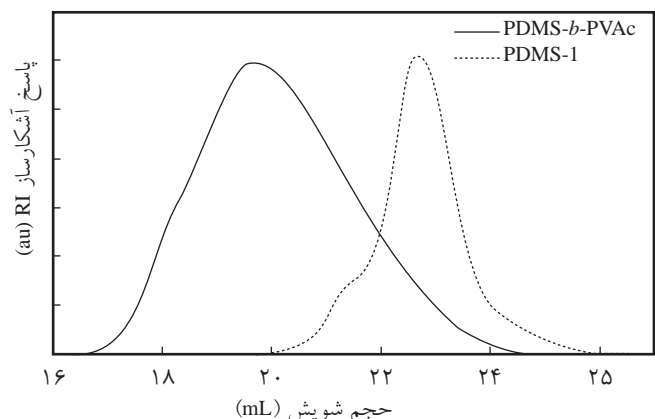
افرون بر این، با استفاده از طیف  $^1H$  NMR<sup>1</sup> می‌توان متوسط عددی وزن مولکولی کوپلیمر را از معادله (۳) محاسبه کرد (جدول ۱) که مقدار محاسبه شده نزدیک به مقدار به دست آمده از حالت نظری و GPC است:

$$\bar{M}_{n,NMR} = \left( \frac{I_{q+j'} - I_{o'}}{I_{a'}} \times \overline{DP}_{n,PDMS-1} \times M_{VAc} \right) + \bar{M}_{n,PDMS-1} \quad (3)$$

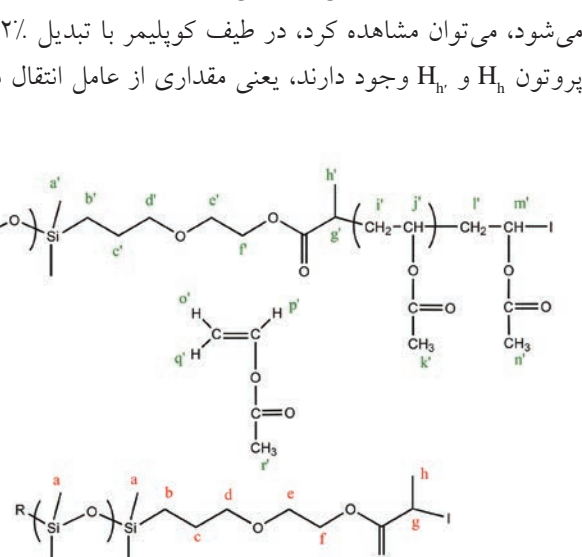
در این معادله،  $I_a'$  انتگرال پیک پروتون  $H_a'$  در عامل انتقال درشت مولکول،



شکل ۲- رنگ‌نگاشت ژلتراوایی پلی(دی متیل سیلوکسان) ۰-یددار و کوپلیمر پلی(وینیل استات)-قطعه-پلی(دی متیل سیلوکسان).

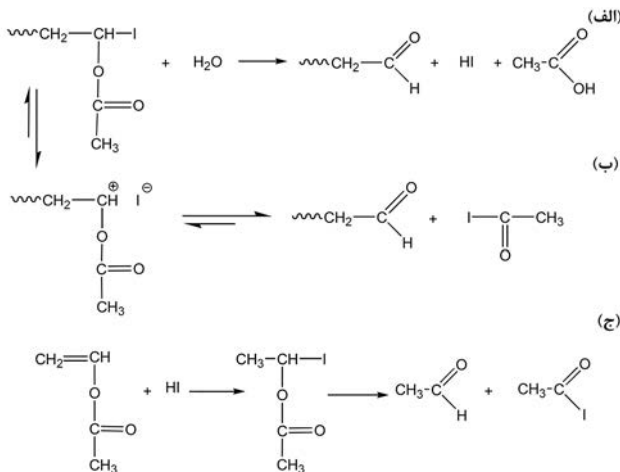


(الف)



(ب)

شکل ۳- (الف) ساختار شیمیایی وینیل استات، پلی(دی متیل سیلوکسان) ۰-یددار و کوپلیمر پلی(وینیل استات)-قطعه-پلی(دی متیل سیلوکسان)، (ب) طیف  $^1H$  NMR<sup>1</sup> پلی(دی متیل سیلوکسان) ۰-یددار و کوپلیمرهای پلی(وینیل استات)-قطعه-پلی(دی متیل سیلوکسان) در دو تبدیل ۷۹٪ (۱۵ min) و ۷۹٪ (۷۵ min) در حلal کلروفرم.

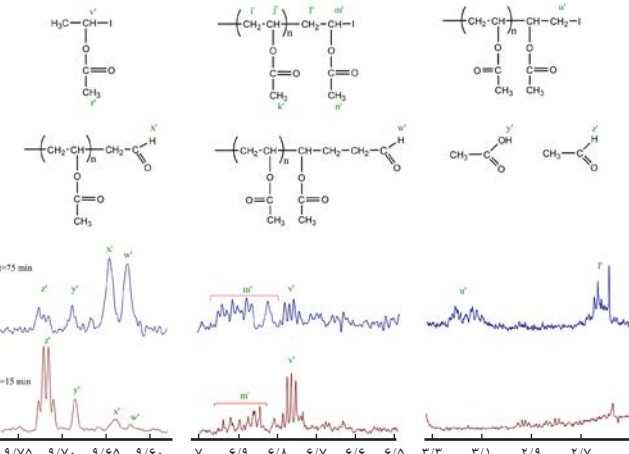


شکل ۵- تخریب انتهای زنجیر یددار در پلیمرشدن رادیکالی انتقال ید وینیل استات.

گروه متین متصل به ید ( $\text{H}_\text{i}$ ) در محصول حاصل از اضافه شدن هیدرویدیک اسید به وینیل استات در ۶/۷۷ ppm به شکل چهارشاخه ظاهر می شود که با افزایش تبدیل واکنش مقدار آن در محیط واکنش کاهش می یابد [۱۴، ۲۳، ۲۴]. پروتون استالدھید ( $\text{H}_\text{s}$ ) حاصل از تخریب محصول افزایشی هیدرویدیک اسید به وینیل استات در ۹/۷۲ ppm به شکل چهارشاخه ظاهر می شود. همچنین، پیک مربوط به پروتون گروه آلدھید انتهای زنجیر معکوس ( $\text{H}_\text{w}$ ) در ۹/۶۳ ppm به شکل چهارشاخه ظاهر می شود. بنابراین، بررسی طیف  $^1\text{H}$  NMR کوپلیمرهای پلی(وینیل استات)-قطعه-پلی(دی متیل سیلوکسان) نشان داد، انتهای یددار زنجیر با وجود اندکی ناخالصی (آب) مستعد تجزیه به گروه آلدھیدی است. این واکنش‌های جانبی باعث از بین رفتن انتهای زنده برخی از زنجیرها می شوند که به پهن شدن توزیع وزن مولکولی منجر می شوند.

## نتیجه‌گیری

کوپلیمر دو قطعه‌ای پلی(وینیل استات)-قطعه-پلی(دی متیل سیلوکسان) به روش پلیمرشدن رادیکالی انتقال ید در مجاورت آغازگر ۲،۰-ایزو بوتیرونیتریل و عامل انتقال درشت‌مولکول پلی(دی متیل سیلوکسان) ۰-یددار در دمای ۸۰°C و حالت توده با موفقیت سنتز شد. برخلاف نتایج مطالعه پیشین، این مطالعه نشان داد، پلیمرشدن در نسبت کم آغازگر به عامل انتقال درشت‌مولکول یعنی  $<1$  [AIBN]/[PDMS] پیش می رود و به تبدیل و وزن مولکولی بیشتر منجر می شود. تطابق خوبی میان وزن مولکولی نظری و وزن



شکل ۶- ساختار شیمیایی انتهای زنجیر و محصولات جانبی به همراه طیف  $^1\text{H}$  NMR<sup>1</sup> بزرگ شده آن‌ها.

درجه پلیمرشدن عامل انتقال درشت‌مولکول (۶۶) [۲۷] و  $M_{\text{VAc}}$  وزن مولکولی مونومر وینیل استات (۸۶/۰۹ g/mol) است. با استفاده از طیف  $^1\text{H}$  NMR<sup>1</sup> می توان انتهای زنجیرها و محصولات جانبی تشکیل شده در واکنش را بررسی کرد. جایه‌جایی شیمیایی مربوط به انتهای زنجیر یددار معمول  $\text{CH}_2\text{CH}_m(\text{OAc})_\text{i}$  در ۶/۸۵ ppm ( $\text{H}_\text{m}$ ) به دلیل نظم فضایی به شکل چندشاخه ظاهر می شود، [۱۴، ۲۳، ۲۴]. پیک ظاهر شده در مکان شیمیایی ۲/۶۲ ppm مربوط به پروتون گروه متیلن در واحد مونومری انتهای زنجیر یددار معمول ( $\text{H}_\text{i}$ ) است (شکل ۴). پیک موجود در ۳/۱۵ ppm را می توان به پروتون  $\text{H}_\text{w}$  در افزودن معکوس وینیل استات به زنجیر در حال رشد نسبت داد (شکل ۴). این نوع از زنجیرها با انتهای معکوس در پلیمرشدن وینیلیدن فلوئورید [۲۹] و پلیمرشدن رادیکالی وینیل استات [۳۰] نیز مشاهده شده است.

با وجود رطوبت، انتهای زنجیر یددار پلیمر به گروه آلدھیدی و استیک اسید تخریب می شود (شکل ۵-الف) که پیک مربوط به پروتون اسیدی استیک اسید ( $\text{H}_\text{s}$ ) در ۹/۶۸ ppm و پیک مربوط به پروتون گروه آلدھید انتهایی ( $\text{H}_\text{w}$ ) در ۹/۶۵ ppm ظاهر می شود (شکل ۴).

تجزیه انتهای زنجیر یددار و تشکیل گروههای آلدھیدی و استیلید ید و واکنش جانبی دیگری است که ممکن است، اتفاق بیفتند (شکل ۵-ب) [۲۴]. افزایش قطبیت محیط واکنش ممکن است، باعث تسريع در واکنش تجزیه شود که اساساً با تشکیل زنجیر یددار مقابله می کند. از طرفی، هیدرویدیک اسید حاصل از تخریب انتهای یددار زنجیر می تواند با وینیل استات واکنش دهد و در مرحله بعد به استالدھید تبدیل شود (شکل ۵-ج). پیک مربوط به هیدروژن

آلدهیدی تشکیل می‌شوند. افزون بر این، تعداد زیادی زنجیر با انتهای معکوس-I  $\text{CH}(\text{OAc})\text{CH}_2$  نیز مشاهده شد. تجمع زنجیرهای با انتهای معکوس در محیط واکنش را می‌توان به واکنش پذیری کم آن‌ها نسبت داد که در کنار تخریب گروه انتهایی به گروه آلدهید غیرفعال موجب پهنه شدن توزیع وزن مولکولی کوپلیمر در تبدیل زیاد می‌شوند.

مولکولی به دست آمده از طیف‌سنجی رزونانس مغناطیسی هسته و رنگ‌نگاری ژلتراوایی مشاهده شد که نشان‌دهنده مصرف کامل عامل انتقال درشت مولکول و عدم شرکت ناخالصی‌های همراه پلی(دی متیل سیلوکسان) است. بررسی طیف رزونانس مغناطیسی هسته پروتون نشان داد، در اثر تخریب گروه‌های انتهایی یددار، زنجیرهایی با انتهای

## مراجع

- Kang I.K., Ito Y., Sisido M., and Imanishi Y., Gas Permeability of the Film of Block and Graft Copolymers of Polydimethylsiloxane and Poly( $\gamma$ -benzyl L-glutamate), *Biomaterials*, **9**, 349-355, 1988.
- Takegami S., Yamada H., and Tsujii S., Pervaporation of Ethanol/Water Mixtures Using Novel Hydrophobic Membranes Containing Polydimethylsiloxane, *J. Membr. Sci.*, **75**, 93-105, 1992.
- Zeigler J.M. and Gordon Fearon F.W., *Silicon-Based Polymer Science. A Comprehensive Resource*, *ACS Adv. Chem.*, **224**, 47-68, 1989.
- Lee H., Pack J.W., Wang W., Thurecht K.J., and Howdle S.M., Synthesis and Phase Behavior of  $\text{CO}_2$ -Soluble Hydrocarbon Copolymer: Poly(vinyl acetate-*alt*-dibutyl maleate), *Macromolecules*, **43**, 2276-2282, 2010.
- Maynard H.D., Lyu S.P., Fredrickson G.H., Wudl F., and Chmelka B.F., Syntheses of Nanophase-Segregated Poly(vinyl acetate)-Poly(dimethylsiloxane) and Poly(vinyl acetate)-Poly(styrene) Graft Copolymers, *Polymer*, **42**, 7567-7574, 2001.
- Tezuka Y., Fukushima A., Matsui S., and Imai K., Surface Studies on Poly(vinyl alcohol)-Poly(dimethylsiloxane) Graft Copolymers, *J. Colloid. Int. Sci.*, **114**, 16-25, 1986.
- Charles A. and Harper EMP., *Plastics Materials and Processes: A Concise Encyclopedia*, John Wiley and Sons, New York, 1008, 2003.
- Olagoke Olabisi K.A., *Handbook of Thermoplastics*, CRC, New York, 1080, 1997.
- Miura Y. and Miyake K., Synthesis of Poly(dimethylsiloxane)-containing Diblock and Triblock Copolymers by the Combination of Anionic Ring-opening Polymerization of Hexamethylcyclotrisiloxane and Nitroxide-mediated Radical Polymerization of Methyl Acrylate, Isoprene, and Styrene, *J. Polym. Sci., Polym. Chem.*, **43**, 6153-6165, 2005.
- Miura Y., Sakai Y., and Taniguchi I., Syntheses of Well-defined Poly(siloxane)-*b*-Poly(styrene) and Poly(norbornene)-*b*-Poly(styrene) Block Copolymers Using Functional Alkoxyamines, *Polymer*, **44**, 603-611, 2003.
- Kurjata J., Chojnowski J., Yeoh C.T., Rossi N.A.A., and Holder S.J., Synthesis of Poly[dimethylsiloxane-*b*-block-oligo(ethylene glycol) Methyl Ether Methacrylate]: An Amphiphilic Copolymer with a Comb-like Block, *Polymer*, **45**, 6111-6121, 2004.
- Semsarzadeh M.A. and Abdollahi M., Atom Transfer Radical Polymerization of Styrene and Methyl (meth)acrylates Initiated with Poly(dimethylsiloxane) Macroinitiator: Synthesis and Characterization of Triblock Copolymers, *J. Appl. Polym. Sci.*, **123**, 2423-2430, 2012.
- Brown D.A. and Price G.J., Preparation and Thermal Properties of Block Copolymers of PDMS with Styrene or Methyl Methacrylate Using ATRP, *Polymer*, **42**, 4767-4771, 2001.
- Tonnar J., Pouget E., Lacroix-Desmazes P., and Boutevin B., Synthesis of Poly(vinyl acetate)-*b*-Poly(dimethylsiloxane)-*b*-Poly(vinyl acetate) Triblock Copolymers by Iodine Transfer Polymerization, *Eur. Polym. J.*, **44**, 318-328, 2008.
- Pouget E., Tonnar J., Eloy C., Lacroix-Desmazes P., and Boutevin B., Synthesis of Poly(styrene)-*b*-Poly(dimethylsiloxane)-*b*-Poly(styrene) Triblock Copolymers by Iodine Transfer Polymerization in Miniemulsion, *Macromolecules*, **39**, 6009-6016, 2006.
- Tonnar J., Pouget E., Lacroix-Desmazes P., and Boutevin B., Synthesis of Poly(vinyl acetate)-*b*-block-Poly(dimethylsiloxane)-*b*-block-Poly(vinyl acetate) Copolymers by Iodine Transfer Photopolymerization in Miniemulsion, *Macromol. Symp.*, **281**, 20-30, 2009.
- Pai T.S.C., Barner-Kowollik C., Davis T.P., and Stenzel M.H.,

- Synthesis of Amphiphilic Block Copolymers Based on Poly(dimethylsiloxane) via Fragmentation Chain Transfer (RAFT) Polymerization, *Polymer*, **45**, 4383-4389, 2004.
18. Guan C.M., Luo Z.H., Qiu J.J., and Tang P.P., Novel Fluorosilicone Triblock Copolymers Prepared by Two-step RAFT Polymerization: Synthesis, Characterization, and Surface Properties, *Eur. Polym. J.*, **46**, 1582-1593, 2010.
19. Pouget E., Tonnar J., Lucas P., Lacroix-Desmazes P., Ganachaud F., and Boutevin B., Well-Architected Poly(dimethylsiloxane)-Containing Copolymers Obtained by Radical Chemistry, *Chem. Rev.*, **110**, 1233-1277, 2009.
20. David G., Boyer C., Tonnar J., Ameduri B., Lacroix-Desmazes P., and Boutevin B., Use of Iodocompounds in Radical Polymerization, *Chem. Rev.*, **106**, 3936-3962, 2006.
21. Boyer C., Lacroix-Desmazes P., Robin J.J., and Boutevin B., Reverse Iodine Transfer Polymerization (RITP) of Methyl Methacrylate, *Macromolecules*, **39**, 4044-4053, 2006.
22. Lacroix-Desmazes P., Severac R., and Boutevin B., Reverse Iodine Transfer Polymerization of Methyl Acrylate and n-Butyl Acrylate, *Macromolecules*, **38**, 6299-6309, 2005.
23. Farrokhi M., Abdollahi M., and Hemmati M., Controlled Radical Copolymerization of Vinyl Acetate and Dibutyl Maleate by Iodine Transfer Radical Polymerization, *Polym. Int.*, **63**, 1494-1504, 2014.
24. Iovu M.C. and Matyjaszewski K., Controlled/Living Radical Polymerization of Vinyl Acetate by Degenerative Transfer with Alkyl Iodides, *Macromolecules*, **36**, 9346-9354, 2003.
25. Guan C.M., Luo Z.H., and Tang P.P., Poly(dimethylsiloxane-*b*-styrene) Diblock Copolymers Prepared by Reversible Addition-Fragmentation Chain Transfer Polymerization: Kinetic Model, *J. Appl. Polym. Sci.*, **123**, 1047-1055, 2012.
26. Huan K., Bes L., Haddleton D.M., and Khoshdel E., Synthesis and Properties of Polydimethylsiloxane-Containing Block Copolymers via Living Radical Polymerization, *J. Polym. Sci., Part A: Polym. Chem.*, **39**, 1833-1842, 2001.
27. Farrokhi M. and Abdollahi M., Synthesis and Characterization of  $\omega$ -Halogenated Poly(dimethylsiloxane), *Iran. J. Polym. Sci. Technol. (Persian)*, **26**, 475-484, 2013.
28. Netopilík M. and Kratochvíl P., Polystyrene-Equivalent Molecular Weight Versus True Molecular Weight in Size-Exclusion Chromatography, *Polymer*, **44**, 3431-3436, 2003.
29. Valade D., Boyer C., Ameduri B., and Boutevin B., Poly(vinylidene fluoride)-*b*-Poly(styrene) Block Copolymers by Iodine Transfer Polymerization (ITP): Synthesis, Characterization, and Kinetics of ITP, *Macromolecules*, **39**, 8639-8651, 2006.
30. Adelman RL. and Ferguson RC., Structural Irregularities in Poly(vinyl alcohol), *J. Polym. Sci., Polym. Chem.*, **13**, 891-911, 1975.